

KÜRENİN MONOSTATİK VE BİSTATİK RADAR HEDEF KESİTİNİN HESAPLANMASI VE DUYARLILIK ANALİZİ

Akif KAVAS ,Refet RAMİZ

Yıldız Teknik Üniversitesi, Elektrik-Elektronik Fakültesi, Elektronik ve Haberleşme Mühendisliği Bölümü
80750, Beşiktaş / İSTANBUL, Tel:259 70 70, Dahili: 2880, Fax:0212 259 49 67,
e-mail: kavas@yildiz.edu.tr , ramiz@yildiz.edu.tr, http://personel.cc.yildiz.edu.tr

Anahtar Sözcükler : Saçılma, Radar hedef kesiti, Mic çözümü, mükemmel iletken küre, saçılma

ABSTRACT

In this work, we studied the radar cross sections of the perfectly conducting sphere and dielectric filled spheres respectively. The electric and magnetic fields are defined in each region by using the electric and magnetic vector potentials (A , F). These potentials are expressed by using the Bessel and Hankel functions defined in each region. By using these expressions the monostatic and bistatic radar cross-sections were calculated accordingly. As an example, the monostatic and bistatic radar cross-sections of a perfectly conducting sphere is examined and its sensitivity analysis made due to the parameters of N , ϕ , θ and f .

1.GİRİŞ

Radar hedef kesitinin belirlenmesi ile ilgili çalışmalar 1940'lı yıllarda başlamıştır. Günümüzde ise değişik teknikler kullanılarak radar hedef kesitinin daha doğru bir şekilde elde edilmesine çalışılmaktadır. Bu doğrultuda radar hedef kesitinin hesaplanması nümerik yaklaşımlar ve nümerik metodların kullanımı yaygınlaşmıştır.[1]-[3].Radar hedef kesitinin hesaplamasında kullanılan gelen, saçılan ve toplam alan ifadeleri değişik yöntemler kullanılarak elde edilebilmektedir. Genel olarak kullanılan yöntemler; geometrik optik, fiziksel optik, integral denklemleri, modal tekniklerdir. Yine nümerik metodlarla, saçılan alan integralerinde yer alan yüzey akımları öngörilen farklı yaklaşıklıklara çözülmeye çalışılmıştır.

Radar hedef kesiti hesaplanmasında kullanılan metodlar başlica iki ana kısımda toplanabilir; tam çözüm ve deneysel çözüm sonuçlarından hareketle geliştirilen çözümler. Burada yapılan çalışmada ise öngörilen "ka" değerleri için, dalgı denkleminin en genel çözümünden hareketle, herbir bölge için alan ifadeleri elde edilerek radar hedef kesiti hesaplanmaktadır.

2.RADAR HEDEF KESİTİ

Herhangi bir cisimin radar hedef kesiti, saçılan alanın gülç yoğunluğunun gelen alanın gülç yoğunluğununa oranı olarak tanımlanmaktadır. Buradan hareketle radar hedef kesiti, hedef ile radar arasındaki uzaklıktan bağımsız olarak hesaplanabilemektedir.[4].

Genel olarak radar hedef kesiti,

$$\sigma = \lim_{r \rightarrow \infty} \left\{ 4 \pi r^2 |E_s|^2 / |E_g|^2 \right\} \quad (1)$$

şeklinde tanımlanmaktadır. Burada,

r : gözlem noktası ile cisim arasındaki uzaklık,
 E_g , E_s : sırasıyla gelen ve saçılan elektrik alanları, ifade etmektedir. Saçilan alan, gelen alanın cisim ile etkileşmesi sonucu elde edildiğinden, toplam alan gelen ve saçılan alanların toplamı olarak tanımlanır. (1) ifadesinde de belirtilen gelen ve saçılan alanlar, en genel anlamda cisim konfigürasyonuna, cismi aydınlatan dalganın polarizasyonuna, cismi aydınlatan dalgamın geliş doğrultusu ile saçılan alanın doğrultusu arasındaki açıya bağlı olarak değişmektedir.

Genel olarak radar hedef kesiti verici, hedef ve alıcıın konumlarına bağlı olarak aşağıdaki şekillerde tanımlanabilir;

(i) Monostatik radar hedef kesiti (geri saçılma hedef kesiti) : Alıcı ve vericinin aynı doğrultuda olduğu ($\alpha=0$) durumda tanımlanan hedef kesitidir.(Şekil-1).

(ii) Üzeri yönde radar hedef kesiti: $\alpha=180^\circ$ olduğu özel durumda radar hedef kesitidir.

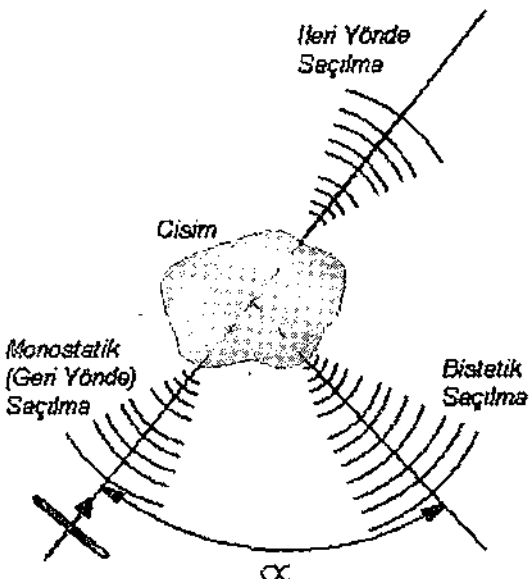
(iii) Bistatik radar hedef kesiti (saçıcı hedef kesiti): Alıcı cisim ve vericinin birbirleriyle Şekil-1'de belirtildiği gibi farklı konumlarda bulunduğu durumda tanımlanan radar hedef kesitidir.

3.ALAN İFADELERİİNİN HESAPLANMASI

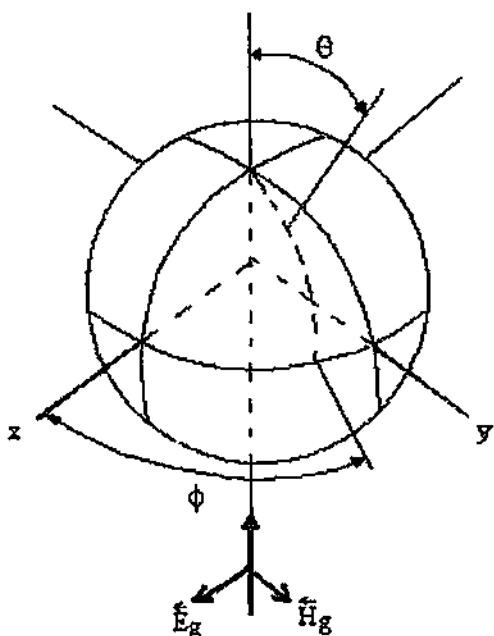
3.1.Elektrik ve Magnetik Vektör Potansiyelleri
Radar hedef kesitinin belirlenmesinde küreden saçılma probleminin incelenmesi, kürenin 3-boyutlu, eksenel simetriye sahip bir cisim olması, bu nedenle diğer cisimlerin radar hedef kesitlerinin saçılma özelliklerinin ölçülmesinde referans saçıcı olarak alınması açısından önemlidir.

Küresel geometri içeren problemler, elektromagnetik sınır değer problemlerinin önemli bir sınıfını oluşturmaktadır. Sözkonusu yapıların bir kısmı metatik duvarlardan geri kalan kısmı dielektrik malzemeden oluşturulabilmektedir. Ele alınan yapı tarafından desteklenen alan konfigürasyonları.

sözkonusu yapıyı bir sınır değer problemi olarak analiz etmekle elde edilebilir. Burada yapılan çalışmada bir küreden meydana gelen saçılma, en genel alan ifadeleri hesaplanarak belirlenmeye çalışılmıştır. (Şekil-2).



Şekil-1. Monostatik ve Bistatik Saçılma



Şekil-2. Küresel Saçılma Geometrisi

Ele alınan yapının sınır yüzeyi kule olduğu için saçılma problemini küresel koordinatlarda incelemek daha uygundur. Burada da küresel geometriye sahip sınır değer probleminde elektrik ve magnetik alanlar küresel koordinatlarda sağlanmalıdır.

Problemi basitleştirmek amacıyla, ortamın kaynak içermedigini ve kayıpsız olduğunu kabul edelim. Elektrik alanın genel çözümü şu şekilde yazılabilir:

$$\bar{E}(r, \theta, \phi) = E_r(r, \theta, \phi) \hat{a}_r + E_\theta(r, \theta, \phi) \hat{a}_\theta + E_\phi(r, \theta, \phi) \hat{a}_\phi \quad (2)$$

Bu elektrik alan ifadesi küresel koordinatlarda tamamlanmış aşağıdaki dalga denklemi sağlamalıdır.

$$(\nabla^2 + \beta^2) E(r, \theta, \phi) = 0 \quad (3)$$

(2) ile belirtilen elektrik alan ifadesi dalga denkleminde yerine konduğu durumda;

$$\nabla^2 (E_r \hat{a}_r) \neq -\beta^2 E_r \hat{a}_r \quad (4a)$$

$$\nabla^2 (E_\theta \hat{a}_\theta) \neq -\beta^2 E_\theta \hat{a}_\theta \quad (4b)$$

$$\nabla^2 (E_\phi \hat{a}_\phi) \neq -\beta^2 E_\phi \hat{a}_\phi \quad (4c)$$

olacağı, bir başka deyişle genel dalga denkleminin üç başlı skaler dalga eşitliğine indirgenemediği görülür. Bu durumda dalga denklemini sağlayan alan ifadeleri hesaplanamamaktadır. Bu göz önüne alılarak küresel yapılar tarafından desteklenen geçerli alan konfigürasyonlarını hesaplamak için, burada yapılan çalışmada elektrik ve magnetik vektör potansiyelleri (A , F) kullanılmıştır. F ve A , skaler Helmholtz denkeminin seçilen koordinat sisteminde çözülmüştür. Böylelikle bir kireye gelen ve saçılan alanlar, TE ve TM modlarının superpozisyonundan elde edilebilir.

Elektrik vektör potansiyeli (A), ortamda magnetik akım kaynaklarının bulunmadığı ($M=0$), buna karşın elektrik akım kaynaklarının var olduğu kabulü altında tamamlanmaktadır. Yine, magnetik vektör potansiyeli (F), ortamda elektriksel akım kaynaklarının bulunmadığı ($J=0$), buna karşın magnetik akım kaynaklarının var olduğu kabulü altında tamamlanmaktadır.

3.2. Vektör Potansiyellerinden Hareketle Alan Ifadelerinin Tanımlanması

Elektrik ve magnetik vektör potansiyelleri kullanılarak elektrik alan bileşenleri küresel koordinatlarda aşağıdaki şekilde tanımlanabilir.

TE^r modu için alan ifadeleri ($A = 0$; $F = F_r \hat{a}_r$);

$$E_r = 0 \quad (5)$$

$$E_\theta = \frac{1}{\epsilon \cdot r \sin \theta} \frac{\partial F_r}{\partial \phi} \quad (6)$$

$$E_\phi = \frac{1}{\epsilon \cdot r} \frac{\partial F_r}{\partial \theta} \quad (7)$$

TM^r modu için alan ifadeleri ($F = 0$; $A = A_r \hat{a}_r$);

$$E_r = \frac{1}{j \omega \epsilon \mu} \left(\frac{\partial^2 A_r}{\partial r^2} + \beta^2 A_r \right) \quad (8)$$

$$E_\theta = \frac{1}{j \omega \epsilon \mu r} \frac{\partial^2 A_r}{\partial r \partial \theta} \quad (9)$$

$$E_\phi = \frac{1}{j \omega \epsilon \mu r \sin \theta} \frac{\partial^2 A_r}{\partial r \partial \phi} \quad (10)$$

Herhangi bir ortamındaki toplam elektrik alan, o bölgede TE' ve TM' modlarının oluşturduğu elektrik alanların superpozisyonundan hareketle hesaplanabilir;

$$E_T = E_{TE} + E_{TM} \quad (11)$$

Monostatik ve bistatik radar hedef kesitlerinin belirlenebilmesi, ilgilenilen bölgedeki elektrik ve magnetik vektör potansiyellerinin tanımlanması ve (5)-(10) bağıntıları ile verilen alan ifadelerinin hesaplanması ile mümkün olacaktır.

4. BİR KÜRENİN DÜZLEM DALGA İLE UYARILMASI

$r = a$ yarıçaplı bir kürenin Şekil-2'de gösterildiği gibi z doğrultusunda ilerleyen bir düzlem dalga ile aydınlatıldığı kabul edilsin. Düzlem dalga,

$$E^s = E_x^s \hat{a}_x = E_0 e^{-j\beta z} \hat{a}_x \quad (12)$$

yazılabilir. Düzlem dalga kiresel koordinatlarda ise

$$E^s = E_0 e^{-j\beta r \cos \theta} \hat{a}_x \quad (13)$$

dir. Bir düzlem dalgamın, sonsuz sayıda kiresel dalga fonksiyonlarının toplamı ile ifade edilebileceği kabulu altında,

$$E^s = E_0 \sum_{n=0}^{\infty} \frac{j^{-n} (2n+1)}{\beta r} \tilde{J}_n(\beta r) P_n(\cos \theta) \quad (14)$$

yazılabilir. Yine gelen alan kiresel koordinatlardaki bileşenleri cinsinden aşağıdaki şekilde yazılabilir.

$$E^s = E_r^s \hat{a}_r + E_\theta^s \hat{a}_\theta + E_\phi^s \hat{a}_\phi \quad (15)$$

Yukarıda tanımlanan düzlem dalganın her bir alan bileşeni sırasıyla TE', TM' modundaki alan bileşenlerine eşitlenirse, vektör potansiyelleri aşağıdaki şekilde elde edilir.

$$F_r^s = E_0 \frac{\sin \phi}{\omega \eta} \sum_{n=1}^{\infty} j^{-n} (2n+1) \tilde{J}_n(\beta r) P_n^1(\cos \theta) \quad (16)$$

$$A_r^s = E_0 \frac{\cos \phi}{\omega} \sum_{n=1}^{\infty} j^{-n} (2n+1) \tilde{J}_n(\beta r) P_n^1(\cos \theta) \quad (17)$$

Burada,

$$\tilde{J}_n(\beta r) = (\beta r) J_n(\beta r) \quad (18)$$

ve

$$P_n^1(\cos \theta) = \frac{d}{d\theta} (P_n(\cos \theta)) \quad (19)$$

Cisme gelen bir uniform düzlem dalganın alan bileşenlerinin A_r^s , F_r^s potansiyelleri kullanılarak ifade edilebileceği gözönüne bulundurularak, küreden sağlanan alanlar da yine A_r^s , F_r^s potansiyelleri kullanılarak ifade edilebilir.

4.1. Mükemmel İletken Küreden Saçılma

Mükemmel iletken kürenin içinde alan davranışının bulunmadığı gözönüne alınarak vektör potansiyelleri şu şekilde tanımlanabilir;

$$F_r^s = E_0 \frac{\sin \phi}{\omega \eta} \sum_{n=1}^{\infty} c_n \tilde{H}_n^{(2)}(\beta r) P_n^1(\cos \theta) \quad (20)$$

$$A_r^s = E_0 \frac{\cos \phi}{\omega} \sum_{n=1}^{\infty} b_n \tilde{H}_n^{(2)}(\beta r) P_n^1(\cos \theta) \quad (21)$$

Toplam alan ise ($r > a$ bölgesinde),

$$E^T = E^s + E^a \quad (22)$$

ifadesinden hareketle bulunabilir. b_n ve c_n katsayılarını bulmak için toplam alanın sınır yüzeyi (burada küre yüzeyi) üzerinde sıfır eşit olması gereğinden hareketle:

$$E_r^T = E_r^s + E_r^a \Big|_{r=a, 0 \leq \theta \leq \pi, 0 \leq \phi \leq 2\pi} \quad (23)$$

$$E_\phi^T = E_\phi^s + E_\phi^a \Big|_{r=a, 0 \leq \theta \leq \pi, 0 \leq \phi \leq 2\pi} \quad (24)$$

yazılabilir. Burada b_n ve c_n katsayıları,

$$b_n = - \frac{j^{-n} (2n+1)}{n(n+1)} \left[\frac{d}{d(\beta r)} (\tilde{J}_n(\beta r)) \right]_{r=a} \quad (25)$$

$$c_n = - \frac{j^{-n} (2n+1)}{n(n+1)} \left[\frac{d}{d(\beta r)} (\tilde{H}_n^{(2)}(\beta r)) \right]_{r=a} \quad (26)$$

A_r^s , F_r^s (5)-(10) bağıntılarında yerine komül olarak alan bileşenleri hesaplamıştır.

4.2. Dielektrik Küreden Saçılma

Dielektrik kürenin sırasıyla dışında ve içindeki alan davranışını gözönüne alınarak, vektör potansiyelleri şu şekilde tanımlanabilir:

$r > a$ bölgesi için;

$$F_r^s = E_0 \frac{\sin \phi}{\omega \eta} \sum_{n=1}^{\infty} c_n \tilde{H}_n^{(1)}(\beta r) P_n^1(\cos \theta) \quad (27)$$

$$A_r^s = E_0 \frac{\cos \phi}{\omega} \sum_{n=1}^{\infty} d_n \tilde{H}_n^{(1)}(\beta r) P_n^1(\cos \theta) \quad (28)$$

$r < a$ bölgesi için;

$$F_r^d = E_0 \frac{\sin \phi}{\omega \eta} \sum_{n=1}^{\infty} g_n \tilde{J}_n(\beta \sqrt{\epsilon_r} r) P_n^1(\cos \theta) \quad (29)$$

$$A_r^d = E_0 \frac{\cos \phi}{\omega} \sum_{n=1}^{\infty} f_n \tilde{J}_n(\beta \sqrt{\epsilon_r} r) P_n^1(\cos \theta) \quad (30)$$

Toplam alan ise,

$$E^T = E^s + E^a \quad (31)$$

den hareketle bulunabilir. b_n ve c_n katsayılarını bulmak için toplam alanın sınır yüzeyi (burada küre yüzeyi) üzerinde sürekli olması gereğinden hareketle:

$$E_r^d = E_r^s + E_r^a \Big|_{r=a, 0 \leq \theta \leq \pi, 0 \leq \phi \leq 2\pi} \quad (32)$$

$$E_\phi^d = E_\phi^s + E_\phi^a \Big|_{r=a, 0 \leq \theta \leq \pi, 0 \leq \phi \leq 2\pi} \quad (33)$$

yazılabilir. İfadeler yerine komülüp düzenlenirse,

$$d_n = \frac{j^{-n} (2n+1)}{n(n+1)} \cdot \sqrt{\epsilon_r} \tilde{J}_n(\beta_o a) \tilde{J}_n(\beta_o \sqrt{\epsilon_r} a) - \tilde{J}_n(\beta_o \sqrt{\epsilon_r} a) \tilde{J}_n(\beta_o a) \quad (34)$$

$$\sqrt{\epsilon_r} \tilde{J}_n(\beta_o a) \tilde{J}_n(\beta_o \sqrt{\epsilon_r} a) + \tilde{J}_n(\beta_o \sqrt{\epsilon_r} a) \tilde{J}_n(\beta_o a) \quad (34)$$

$$e_n = -\frac{j^{-n}(2n+1)}{n(n+1)} \left[\frac{\tilde{J}_n(\beta r)}{\tilde{H}_n^{(2)}(\beta r)} \right]_{r=a} \quad (35)$$

$$f_n = -\frac{j^{-n}(2n+1)}{n(n+1)} \left[\frac{\tilde{J}_n(\beta r)}{\tilde{H}_n^{(2)}(\beta r)} \right]_{r=a} \quad (36)$$

$$g_n = -\frac{j^{-n}(2n+1)}{n(n+1)} \left[\frac{\tilde{J}_n(\beta r)}{\tilde{H}_n^{(2)}(\beta r)} \right]_{r=a} \quad (37)$$

elde edilir. Buradan haretelle $A_r^s, F_r^s, A_r^d, F_r^d$, (5) - (10) bağıntılarında yerine komularak alan bileşenleri hesaplamıştır.

4.3. Küresel Bessel ve Hankel Fonksiyonlarının Seçimi

Radar hedef kesitinin hesaplamasında, istenen uzaklığa bağlı olarak Bessel ve Hankel fonksiyonlarının seçilmesi büyük önem taşımaktadır. Genel olarak cisim ile gözlem noktası arasındaki bölge (i) yakın alan bölgesi, (ii) ara bölge, (iii) uzak alan bölgesi olarak gruplandırılabilir. Herbir bölge için Bessel ve Hankel fonksiyonları buralarda yapılan incelemede aşağıdaki şekilde seçilmişdir,

(i) Yakın alan bölgesi:

$$j_n(\beta \cdot r) = \frac{(\beta \cdot r)^n}{1 \cdot 3 \cdot 5 \dots (2n+1)} \cdot \left\{ 1 - \frac{(\beta \cdot r)^2}{2! (2n+3)} + \frac{(\beta \cdot r)^4}{2^2 \cdot 2! (2n+3)(2n+5)} - \dots \right\} \quad (38)$$

$$y_n(\beta \cdot r) = \frac{1 \cdot 3 \cdot 5 \dots (2n-1)}{(\beta \cdot r)^n} \cdot \left\{ 1 - \frac{(\beta \cdot r)^2}{2! (1-2n)} + \frac{(\beta \cdot r)^4}{2^2 \cdot 2! (1-2n)(3-2n)} - \dots \right\} \quad (39)$$

$$n = 0, 1, 2, 3, \dots$$

(ii) Ara bölge:

$$j_0(\beta \cdot r) = \frac{\sin(\beta \cdot r)}{\beta \cdot r} \quad (40)$$

$$j_1(\beta \cdot r) = \frac{\sin(\beta \cdot r)}{(\beta \cdot r)^2} - \frac{\cos(\beta \cdot r)}{\beta \cdot r} \quad (41)$$

$$y_n(\beta \cdot r) = (-1)^{n+1} \cdot j_{-(n+1)}(\beta \cdot r) \quad (42)$$

$$q_n(\beta \cdot r) = \frac{1}{\beta \cdot r} (2n-1) q_{n-1}(\beta \cdot r) - q_{n-2}(\beta \cdot r) \quad (43)$$

(iii) Uzak alan bölgesi:

$$j_n(\beta \cdot r) = \frac{1}{\beta \cdot r} \left[P(n, r) \cdot \sin(\beta \cdot r - n \frac{\pi}{2}) + Q(n, r) \cdot \cos(\beta \cdot r - n \frac{\pi}{2}) \right] \quad (44)$$

$$y_n(\beta \cdot r) = \frac{(-1)^{n+1}}{\beta \cdot r} \left[P(n, r) \cdot \cos(\beta \cdot r + n \frac{\pi}{2}) + Q(n, r) \cdot \sin(\beta \cdot r + n \frac{\pi}{2}) \right] \quad (45)$$

$$P(n, r) = \sum_{k=0}^{L(n)} (-1)^k \frac{(n+2 \cdot k)! (2 \cdot \beta \cdot r)^{-2k}}{(2 \cdot k)! (n-2 \cdot k)!} \quad (46)$$

$$Q(n, r) = \sum_{k=0}^{M(n)} (-1)^k \frac{(n+2 \cdot k+1)! (2 \cdot \beta \cdot r)^{-2k-1}}{(2 \cdot k+1)! (n-2 \cdot k-1)!} \quad (47)$$

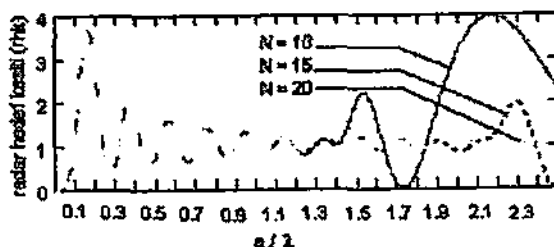
Radar hedef kesiti hesaplamalarında uzak alan bölgesinde gözlemlene alındığından, burada ele alınan problemdede (iii) ile verilen Bessel ve Hankel fonksiyonları alan hesaplamalarında kullanılmıştır.

5. SONUÇLAR

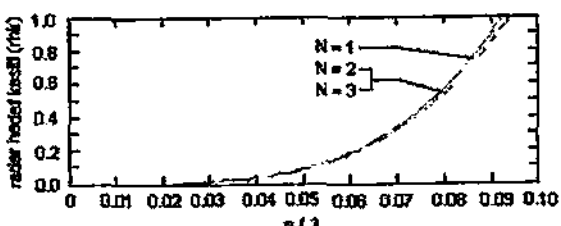
Mükemmel iletken kire için (1) ifadesi kullanılarak monostatik radar hedef kesiti.

$$\sigma_{3D} = \frac{\lambda^2}{4\pi} \left| \sum_{n=1}^N \frac{(-1)^n (2n+1)}{d \left(\frac{d}{d(\beta r)} \left[\frac{\tilde{H}_n^{(2)}(\beta r)}{\tilde{H}_n^{(2)}(\beta r)} \right]_{r=a} \right)} \cdot \left[\frac{\tilde{H}_n^{(2)}(\beta r)}{\tilde{H}_n^{(2)}(\beta r)} \right]_{r=a} \right|^2$$

olarak elde edilmiştir. Monostatik radar hedef kesitinin, (a/λ) ve N'e duyarlılığı ise aşağıda πa^2 'ye göre normalize edilmiş olarak verilmiştir.



Şekil-3. Monostatik radar hedef kesiti
(N = 10, 15, 20) (a = 0.003 m, f = 1 GHz - 250 GHz)



Şekil-4. Monostatik radar hedef kesiti
(a/λ → 0 için duyarlı), a=0.003 m

Küçeye ait bistatik radar hedef kesitin N, θ ve φ'ye duyarlılığı da aşağıda πa^2 'ye göre normalize edilmiş olarak verilen şekillerde incelenmiştir.

$$e_n = -\frac{j^{-n}(2n+1)}{n(n+1)} \left[\frac{\tilde{J}_n(\beta r)}{\tilde{H}_n^{(2)}(\beta r)} \right]_{r=0} \quad (35)$$

$$f_n = -\frac{j^{-n}(2n+1)}{n(n+1)} \left[\frac{\tilde{J}_n(\beta r)}{\tilde{H}_n^{(2)}(\beta r)} \right]_{r=0} \quad (36)$$

$$g_n = -\frac{j^{-n}(2n+1)}{n(n+1)} \left[\frac{\tilde{J}_n(\beta r)}{\tilde{H}_n^{(2)}(\beta r)} \right]_{r=0} \quad (37)$$

elde edilir. Buradan harketle $A_r^k, F_r^k, A_r^d, F_r^d, (5) - (10)$ bağıntılarında yerine komşularak alan bileşenleri hesaplanmıştır.

4.3. Kiresel Bessel ve Hankel Fonksiyonlarının Seçimi

Radar hedef kesitinin hesaplanmasıında, istenen uzaklığa bağlı olarak Bessel ve Hankel fonksiyonlarının seçilmesi büyük önem taşımaktadır. Genel olarak cisim ile gözlem noktası arasındaki bölge (i) yakını alan bölgesi, (ii) ara bölge, (iii) uzak alan bölgesi olarak gruplandırılabilir. Herbir bölge için Bessel ve Hankel fonksiyonları burada yapılan incelemede aşağıdaki şekilde seçilmiştir,

(i) Yakın alan bölgesi:

$$j_n(\beta \cdot r) = \frac{(\beta \cdot r)^n}{1 \cdot 3 \cdot 5 \dots (2n+1)} \cdot \left\{ 1 - \frac{(\beta \cdot r)^2}{2! (2n+3)} + \frac{(\beta \cdot r)^4}{2^2 2! (2n+3)(2n+5)} - \dots \right\} \quad (38)$$

$$y_n(\beta \cdot r) = \frac{1 \cdot 3 \cdot 5 \dots (2n-1)}{(\beta \cdot r)^n} \cdot \left\{ 1 - \frac{(\beta \cdot r)^2}{2! (1-2n)} + \frac{(\beta \cdot r)^4}{2^2 2! (1-2n)(3-2n)} - \dots \right\} \quad (39)$$

$n = 0, 1, 2, 3, \dots$

(ii) Ara bölge:

$$j_0(\beta \cdot r) = \frac{\sin(\beta \cdot r)}{\beta \cdot r} \quad (40)$$

$$j_1(\beta \cdot r) = \frac{\sin(\beta \cdot r)}{(\beta \cdot r)^2} - \frac{\cos(\beta \cdot r)}{\beta \cdot r} \quad (41)$$

$$y_n(\beta \cdot r) = (-1)^{n+1} \cdot j_{-(n+1)}(\beta \cdot r) \quad (42)$$

$$q_n(\beta \cdot r) = \frac{1}{\beta \cdot r} (2n-1) q_{n-1}(\beta \cdot r) - q_{n-2}(\beta \cdot r) \quad (43)$$

(iii) Uzak alan bölgesi:

$$j_n(\beta \cdot r) = \frac{1}{\beta \cdot r} \left[P(n, r) \cdot \sin(\beta \cdot r - n \frac{\pi}{2}) + Q(n, r) \cdot \cos(\beta \cdot r - n \frac{\pi}{2}) \right] \quad (44)$$

$$y_n(\beta \cdot r) = \frac{(-1)^{n+1}}{\beta \cdot r} \left[P(n, r) \cdot \cos(\beta \cdot r + n \frac{\pi}{2}) + Q(n, r) \cdot \sin(\beta \cdot r + n \frac{\pi}{2}) \right] \quad (45)$$

$$P(n, r) = \sum_{k=0}^{L(n)} (-1)^k \frac{(n+2k)! (2 \cdot \beta \cdot r)^{-2k}}{(2k)! (n-2k)!} \quad (46)$$

$$Q(n, r) = \sum_{k=0}^{M(n)} (-1)^k \frac{(n+2k+1)! (2 \cdot \beta \cdot r)^{-2k-1}}{(2k+1)! (n-2k-1)!} \quad (47)$$

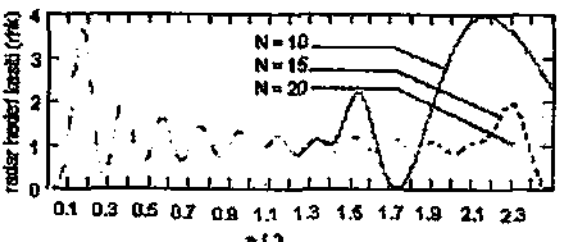
Radar hedef kesiti hesaplamalarında uzak alan bölgeleri göz önünde almadığımız, burada ele alınan problemede (iii) ile verilen Bessel ve Hankel fonksiyonları alan hesaplamalarında kullanılmıştır.

5. SONUÇLAR

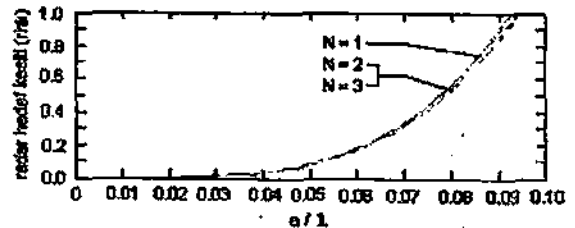
Mükemmel itekeen käre için (1) ifadesi kullanılarak monostatik radar hedef kesiti,

$$\sigma_{3D} = \frac{\lambda^2}{4\pi} \left| \sum_{n=1}^N \left[\frac{(-1)^n (2n+1)}{\frac{d}{d(\beta r)} (\tilde{H}_n^{(2)}(\beta r))} \cdot [\tilde{H}_n^{(2)}(\beta r)]_{r=0} \right] \right|^2$$

olarak elde edilmiştir. Monostatik radar hedef kesitinin (a/λ) ve N 'e dayanığı ise aşağıda πa^2 'ye göre normalize edilmiş olarak verilmiştir.



Şekil-3. Monostatik radar hedef kesiti
($N = 10, 15, 20$) ($a = 0.003$ m, $f = 1$ GHz - 250 GHz)



Şekil-4. Monostatik radar hedef kesiti
($a/\lambda \rightarrow 0$ için duyarlılık), $a=0.003$ m

Kireye ait bistatik radar hedef kesitin N, θ ve ϕ 'ye duyarlığı da aşağıda πa^2 'ye göre normalize edilmiş olarak verilen şekillerde incelemiştir.